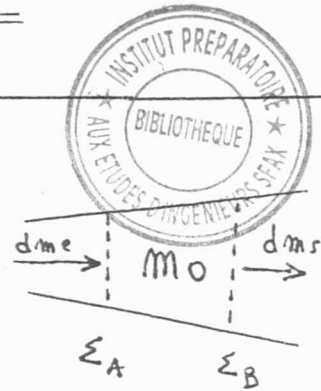


Exercice



1- on considère une masse de fluide comprise entre les deux sections fixes Σ_A et Σ_B .

$dme = D_{mA} dt$: masse qui rentre pendant dt

$dms = D_{mB} dt$: masse qui sort pendant dt

En régime permanent, $m_0 = \text{cte} \Rightarrow dme = dms \Rightarrow D_{mA} = D_{mB} = D_m$

2.a - $E_m(t) = E_{m,t}(A_1 A_2) = E_{m,t}(B_1 A_2) + dE_1$

$$E_m(t+dt) = E_{m,t+dt}(B_1 A_2) = E_{m,t+dt}(B_1 A_2) + dE_2$$

En régime permanent $E_{m,t}(B_1 A_2) = E_{m,t+dt}(B_1 A_2) = E_0 = \text{cte}$

$$\Rightarrow E_m(t+dt) - E_m(t) = dE_2 - dE_1$$

2.b - $dE_2 = D_m dt (u_2 + \frac{1}{2} c_2^2)$

$$dE_1 = D_m dt (u_1 + \frac{1}{2} c_1^2)$$

2.c - $\delta W_{\text{pression}} = \delta W_{\text{amont}} + \delta W_{\text{aval}}$

$$\delta W_{\text{amont}} = -P_1 (V_f - V_i) = -P_1 (-dm u_1) = D_m P_1 u_1 dt$$

$$\delta W_{\text{aval}} = -P_2 (V_f - V_i) = -P_2 (dm u_2) = -D_m P_2 u_2 dt$$

$$P_{\text{pression}} = \frac{\delta W}{dt} = D_m (P_1 u_1 - P_2 u_2)$$

2.d - $dE_m = E_m(t+dt) - E_m(t) = dE_2 - dE_1 = \delta Q + \delta W_u + \delta W_{\text{pression}}$

$$D_m \left[(u_2 + \frac{1}{2} c_2^2) - (u_1 + \frac{1}{2} c_1^2) \right] = P_{1h} + P_u + D_m (P_1 u_1 - P_2 u_2)$$

avec $h_2 = u_2 + P_2 u_2$ et $h_1 = u_1 + P_1 u_1$, il vient :

$$D_m \left[(h_2 - h_1) + \frac{1}{2} (c_2^2 - c_1^2) \right] = P_{1h} + P_u$$

3 - $P_u = D_m c_p (T_2 - T_1)$; $c_p = \frac{\gamma R}{(\gamma - 1)M}$; $T_2 = T_1 \left(\frac{P_1}{P_2} \right)^{\frac{1-\gamma}{\gamma}}$

$$c_p = 1004,7 \text{ J kg}^{-1} \text{ K}^{-1} ; T_2 = 631,38 \text{ K}$$

$P_u = -3,69 \cdot 10^4 \text{ W}$. Le fluide fournit donc à la machine la puissance $P = 3,69 \cdot 10^4 \text{ W}$.

(0,5)

(0,5)

(0,5)

(0,5)

(0,5)

(1)

problème 1

$$1/ \text{MF} \Rightarrow \left(\vec{\nabla} \otimes \vec{E} = - \frac{\partial \vec{B}}{\partial t} \right) \cdot \left(\frac{\vec{B}}{\mu_0} \right) \quad (1)$$

$$\text{MA} \Rightarrow \left(\vec{\nabla} \otimes \frac{\vec{B}}{\mu_0} = \vec{J} + \epsilon_0 \frac{\partial \vec{E}}{\partial t} \right) \cdot \vec{E} \quad (2)$$

$$(1) - (2) \Rightarrow \frac{\vec{B}}{\mu_0} \vec{\nabla} \otimes \vec{E} - \vec{E} \vec{\nabla} \otimes \frac{\vec{B}}{\mu_0} = - \vec{J} \cdot \vec{E} - \frac{\partial}{\partial t} \left(\frac{\epsilon_0 E^2}{2} + \frac{B^2}{2\mu_0} \right) = \text{div} \left(\frac{\vec{E} \wedge \vec{B}}{\mu_0} \right)$$

on obtient, par identification, $u_{em} = \frac{\epsilon_0 E^2}{2} + \frac{B^2}{2\mu_0}$ et $\vec{R} = \frac{\vec{E} \wedge \vec{B}}{\mu_0}$

2/ En intégrant cette formule sur le volume fixe (V) et en utilisant la relation de Green-Ostrogradsky, on obtient:

$$- \frac{d}{dt} \iiint_{(V)} \left(\frac{\epsilon_0 E^2}{2} + \frac{B^2}{2\mu_0} \right) d\tau = \iiint_{(V)} \vec{J} \cdot \vec{E} d\tau + \oint_{(S)} \vec{R} \cdot d\vec{S}$$

En régime permanent, on trouve : $\iiint_{(V)} \vec{J} \cdot \vec{E} d\tau + \oint_{(S)} \vec{R} \cdot d\vec{S} = 0$

$\oint \vec{R} \cdot d\vec{S}$: puissance qui sort à travers S (\vec{n} vers l'extérieur)

$\iiint_{(V)} \vec{J} \cdot \vec{E} d\tau$: puissance cédée par (\vec{E}, \vec{B}) à la matière, dissipée sous forme de chaleur (effet Joule).

$$3) \vec{J} = \gamma \vec{E} \Rightarrow \vec{E} = \left(\frac{J_0}{\gamma} \right) \vec{e}_z$$

1) La distribution de courant est invariante par translation le long de Oz et par rotation autour de cet axe $\Rightarrow \vec{B} = \vec{B}(r)$.

Le plan contenant r et l'axe (Oz) (r, \vec{e}_r, \vec{e}_z) est de symétrie pour la distribution de courant ; il en résulte que \vec{B} est orthogonal à ce plan $\vec{B} = B \vec{e}_\theta \Rightarrow \vec{B}(r) = B(r) \vec{e}_\theta$

2) L'application du théorème d'Ampère, à un contour circulaire de rayon r, centré sur l'axe, donne :

pour $r \leq a$ $\vec{B} = \frac{\mu_0 J_0}{2} r \vec{e}_\theta$

pour $r \geq a$ $\vec{B} = \frac{\mu_0 J_0}{2r} a^2 \vec{e}_\theta$

3) $\vec{R} = \frac{\vec{E} \wedge \vec{B}}{\mu_0} = - \frac{J_0^2 r}{2\gamma} \vec{e}_r$; à la surface $\vec{R} = - \frac{J_0^2 a}{2\gamma} \vec{e}_r$
 P_{interne} = $\oint \vec{R} \cdot d\vec{S} = \frac{J_0^2 \pi a^2 L}{\gamma}$ ($\vec{n} = -\vec{e}_r$ pour la surface latérale)

$$R_{entree} = \frac{J_0 \pi a^2 L}{\gamma} = R_e I^2 = R_e (J_0 \pi a^2)^2$$

$$\Rightarrow R_e = \frac{1}{\gamma} \frac{L}{\pi a^2}$$

$$8 - dU = \delta Q_e + \delta Q_J - \delta Q_s$$

$$dU = \mu c s dz \frac{\partial T}{\partial t} dt$$

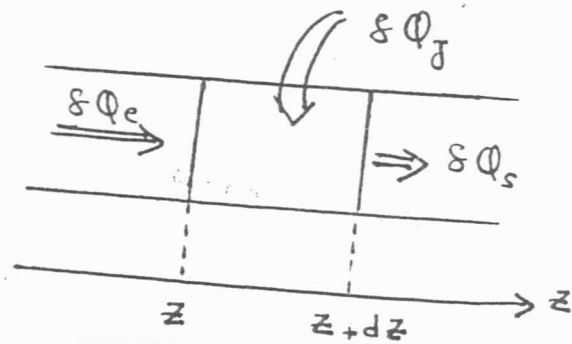
$$\delta Q_e = \left(-\lambda \frac{\partial T}{\partial z} \right)_z s dt$$

$$\delta Q_s = \left(-\lambda \frac{\partial T}{\partial z} \right)_{z+dz} s dt$$

$$\delta Q_e - \delta Q_s = \lambda \frac{\partial^2 T}{\partial z^2} s dz dt$$

$$\delta Q_J = \frac{J_0^2}{\gamma} s dz dt$$

$$\mu c \frac{\partial T}{\partial t} = \lambda \frac{\partial^2 T}{\partial z^2} + \frac{J_0^2}{\gamma}$$



$\frac{J_0^2}{\gamma}$: puissance volumique cédée par le champ électromagnétique au matériau

9 - En régime permanent, l'équation devient : $\frac{d^2 T}{dz^2} = -\frac{J_0^2}{\lambda \gamma}$

$$\left. \begin{array}{l} T(z=0) = T_1 \\ T(z=L) = T_2 \end{array} \right\} \Rightarrow T(z) = -\frac{J_0^2}{2\lambda\gamma} z^2 + \left(T_2 - T_1 + \frac{J_0^2 L^2}{2\lambda\gamma} \right) \frac{z}{L} + T_1$$

10 - Pour $J_0 = 0$, $T(z) = T_1 + (T_2 - T_1) \frac{z}{L}$

$$\vec{J}_{1h} = -\lambda \frac{\partial T}{\partial z} \vec{e}_z = (T_1 - T_2) \frac{\lambda}{L} \vec{e}_z$$

$$P_{1h} = (T_1 - T_2) \frac{\lambda \pi a^2}{L} : \text{puissance traversant une section du cylindre.}$$

$$R_{1h} = \frac{T_1 - T_2}{P_{1h}} = \frac{1}{\lambda} \frac{L}{\pi a^2}$$

$$11 - P(z) = \vec{J}_{1h} \pi a^2 \vec{e}_z = -\lambda \frac{dT}{dz} \pi a^2$$

$$P(z) = -\pi a^2 \left[-\frac{J_0^2}{\gamma} z + \frac{J_0^2}{2\gamma} L + \frac{(T_2 - T_1) \lambda}{L} \right]$$

$$12 - P_1 = -P(z=0) = \pi a^2 \left[\frac{J_0^2 L}{2\gamma} + \frac{(T_2 - T_1) \lambda}{L} \right]$$

$$P_2 = +P(z=L) = -\pi a^2 \left[-\frac{J_0^2 L}{2\gamma} + \frac{(T_2 - T_1) \lambda}{L} \right]$$

$$P_J = P_1 + P_2 = \frac{J_0^2 L}{\gamma} \pi a^2 = \iiint_V \vec{J} \cdot \vec{E} dz$$

La puissance reçue par le cylindre (par effet Joule) est donnée aux deux thermostats.

14- $T_1 = T_2 = T_0$, l'expression de $T(z)$ devient:

$$T(z) = T_0 + \alpha (-z^2 + Lz) \quad \text{avec } \alpha = \frac{J_0^2}{2\lambda\gamma}$$

14- La température en $z = \frac{L}{2}$ est maximale.

$$T_{\max} = T\left(\frac{L}{2}\right) = T_0 + \frac{J_0^2 L^2}{8\lambda\gamma} = T_0 + \frac{I^2 L^2}{8\lambda\gamma (\pi \cdot 10^3)^2}$$

Cette température doit rester inférieure à $T_F \Rightarrow$

$$I < I_0 = \frac{\pi \cdot 10^3}{L} \sqrt{8\lambda\gamma (T_F - T_0)} = 10 \text{ A}$$

⊛ Application : fusible

Problème 2

1- $\vec{k} = \frac{2\pi}{\lambda} (\cos\theta \vec{e}_z + \sin\theta \vec{e}_n)$, $\vec{OP} = x \vec{e}_n \Rightarrow \vec{k} \cdot \vec{OP} = \frac{2\pi}{\lambda} x \sin\theta$

$$e^{-i\vec{k} \cdot \vec{OP}} = e^{-\frac{2\pi i}{\lambda} x \sin\theta} = e^{-i2\pi x u} \quad \text{avec } u = \frac{\sin\theta}{\lambda} = \frac{\theta}{\lambda}$$

2- u s'exprime en m^{-1} : fréquence spatiale.

par analogie avec la fréquence temporelle qui s'exprime en s^{-1} (ou Hz).

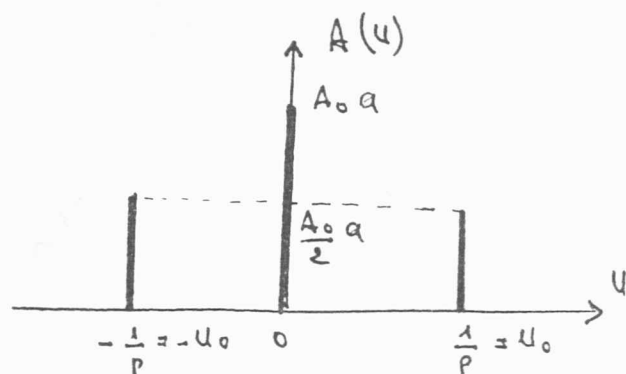
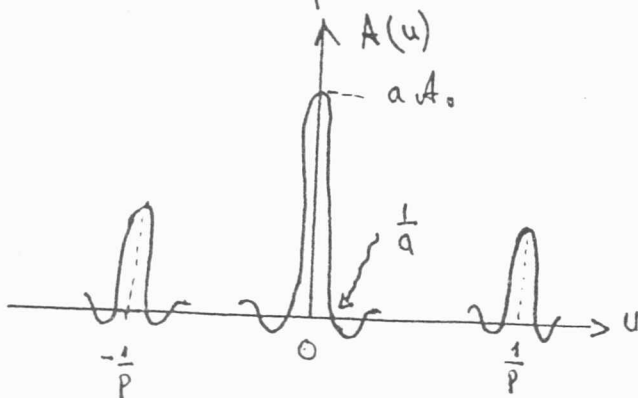
3- La lentille (L) permet d'observer dans son plan focal image la diffraction de Fraunhofer.

4) $A(u) = A_0 \int_{-a/2}^{a/2} \left(1 + \frac{e^{i2\pi x/P} + e^{-i2\pi x/P}}{2} \right) e^{-i2\pi x u} dx$

$$A(u) = aA_0 \left[\text{Sinc}(\pi a u) + \frac{1}{2} \text{Sinc} \pi a \left(u - \frac{1}{P}\right) + \frac{1}{2} \text{Sinc} \pi a \left(u + \frac{1}{P}\right) \right]$$

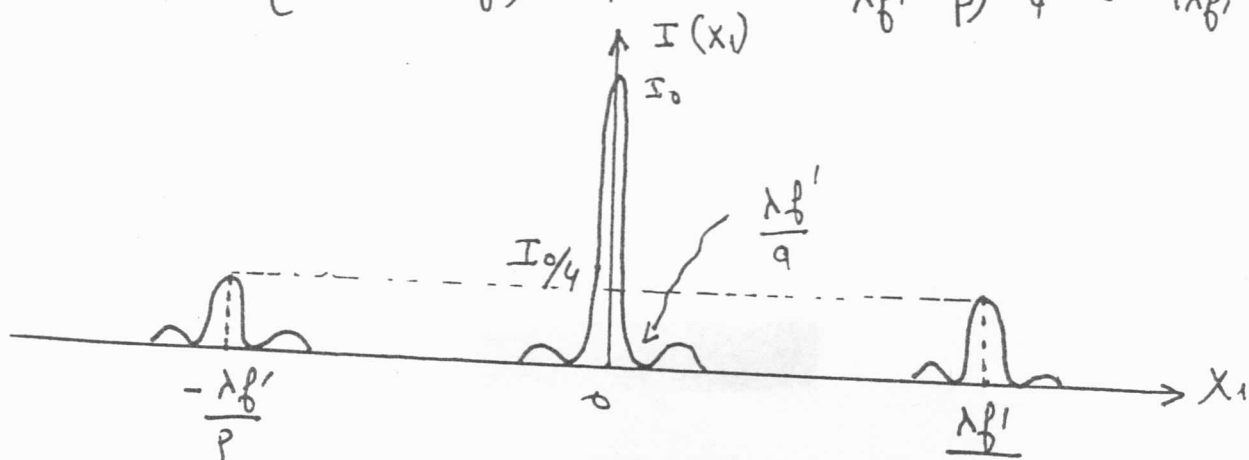
c'est la somme de 3 sinus cardinaux centrés en $-\frac{1}{P}$, 0 , $\frac{1}{P}$.

5/ Comme $\frac{1}{a} \ll \frac{1}{P}$, les sinus cardinaux ne se superposent pas.



$$n \sin \theta = f \sin \theta = \frac{f}{I_1} \Rightarrow u = \frac{\theta}{\lambda} = \frac{x_1}{\lambda f'}$$

$$I = A^2 = I_0 \left\{ \overset{I_1}{\text{sinc}^2 \left(\frac{\pi a x_1}{\lambda f'} \right)} + \frac{1}{4} \overset{I_2}{\text{sinc}^2 \left(\pi a \left(\frac{x_1}{\lambda f'} - \frac{1}{p} \right) \right)} + \frac{1}{4} \overset{I_3}{\text{sinc}^2 \left(\pi a \left(\frac{x_1}{\lambda f'} + \frac{1}{p} \right) \right)} \right\}$$



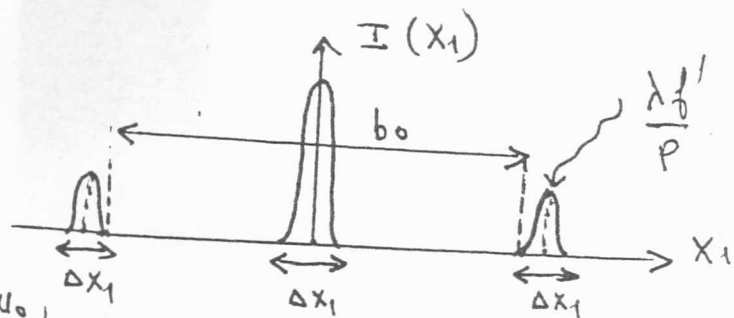
$$7 - \frac{1}{\overline{O_L A'}} - \frac{1}{\overline{O_L A}} = \frac{1}{f'} \Rightarrow \overline{O_L A'} = d' = 2f' ; (\overline{O_L A} = -2f')$$

$$\gamma = \frac{\overline{O_L A'}}{\overline{O_L A}} = -1$$

$$8.a - \Delta x_1 = \frac{2 \lambda f'}{a}$$

$$8.b - b_0 = \frac{2 \lambda f'}{p} - \Delta x_1$$

$$b_0 = 2 \lambda f' \left(\frac{1}{p} - \frac{1}{a} \right)$$



8.c - En occultant les fréquences $\pm u_0$, du plan focal image, la figure de diffraction est celle relative à une fente de largeur a : tout se passe comme si l'objet était une fente de largeur a . On observe sur l'écran (E) l'image de la fente : bande de largeur a uniformément éclairée.

8.d - La fréquence nulle est à l'origine de l'éclairement uniforme dans l'image.

Les basses fréquences du spectre correspondent à des éclairissements uniformes dans l'objet.

Les H.F correspondent aux détails fins de l'objet.

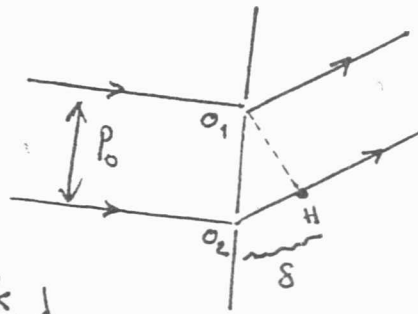
$$\varphi = \frac{2\pi}{\lambda} \delta = \frac{2\pi}{\lambda} p_0 \sin \theta.$$

pour θ faible, $\varphi = \frac{2\pi p_0 \theta}{\lambda}$

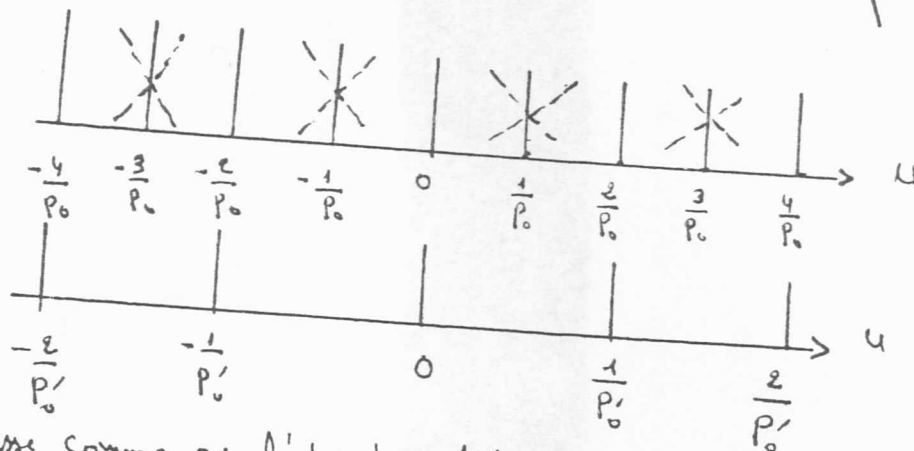
10- Le maximum principal d'ordre k

correspond à $\varphi = 2k\pi \Rightarrow \theta_k = \frac{k}{p_0} \lambda$

$u = \frac{\varphi}{\lambda} \Rightarrow u_k = \frac{k}{p_0}$



11- si on occulte les maxima d'ordre impair dans la figure de diffraction donnée par le réseau de pas p_0 , la figure de diffraction obtenue est alors celle relative à un réseau de pas $\frac{p_0}{2} = p_0'$



tout se passe comme si l'objet était un réseau de pas $p_1 = \frac{p_0}{2}$. Sur l'écran (E) on observe l'image d'un réseau de pas p_1 .

12- le premier minimum nul correspond à une fréquence égale à $\frac{2\pi}{N p_0} = \frac{1}{N p_0}$

or $a = N p_0 \Rightarrow$ cette fréquence est égale à $\frac{1}{a}$.

Le spectre est celui associé à une fente de largeur a .

